

論文

高炉における炭素および熱量の消費について*

(高炉の炭素および熱量的検討—I)

八塚健夫**・沢村 慎**・太田 翁***・福田隆博**

On the Carbon and Heat Consumption in Blast Furnace.

(Studies on carbon and heat consumption in blast furnace—I)

Takeo Yatsuzuka, Jun Sawamura, Susumu Ota and Takahiro Fukuda

Synopsis:

The consumption of carbon and the heat in an operating blast furnace constitutes a basic factor for a theoretical evaluation of the pig-iron manufacturing operation, together with the material consumption.

This report gives the result of studying how the carbon consumption is performed in each part of a blast furnace, how the calory thus generated is distributed and to what extent the calory consumption of charged materials will amount, referring also to the application of those results to the blast furnace operation based on the studies from both theoretical and practical aspects.

I. 緒 言

最近の製鉄作業における品質管理の強化は作業設備、および計測設備の強化と相まって作業成績の理論的評価を可能ならしめる段階にきたように思われる。これらの理論的評価を逆に製鉄作業に応用することにより熔鉱炉操業が大きく進歩し、これまでの長い間の経験による操業から完全に脱することも可能であろうと考えられる。

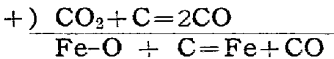
熔鉱炉における炭素および熱量の消費は物質消費とともに製鉄作業の重要な点を占めることは強調するまでもないが、釜石製鉄所においては製鉄作業の熱量的管理の資料として毎月の炭素精算、熱量精算をおこない、さらに装入物の所要熱量を計算し、これらを実際操業にまで利用しうる段階にまできている。しかるにこれらの諸計算は相当に繁雑であるため簡単な方式を決定して計算を簡易化しない限り実際操業への応用は困難であろう。

本報告は第1報で釜石製鉄所で採用し相当の効果を収めている炭素精算、熱量精算、装入物所要熱量の計算方法とその基礎について説明し、第2報ではこれら諸結果の高炉操業への応用を論じたものである。

II. 高炉における炭素の消費について

(1) 高炉における炭素の消費について

熱量的な検討をおこなう上にまず問題になるのは炭素精算であるが、その理論については JOSEPH¹⁾により詳論されているが理論的には簡単であり、高炉で消費される炭素の中で高炉灰に行くもの、羽口先で衝風中の酸素および湿分で燃える炭素、銑鉄中に熔解する C, Si, Mn, P, の還元に要する炭素をそれぞれ化学量論的に計算し高炉に装入された炭素とこれらの炭素との差をソルーション・ロスとして計上するものである。ここで注意しなければならないのはソルーション・ロスであるが、ソルーション・ロスの中には鉄酸化物の直接還元用炭素とプリマチャーニ・コンバッシュンの2つが含まれていることが考えられる。後者を前者から定量的に分離できないので、炭素精算ではソルーション・ロスをもつて直接還元用炭素と解釈し鉄酸化物の還元は CO の間接還元によるものであり、いわゆる直接還元は（間接還元+ソルーション・ロス）として考える。この考えが物量的、熱量的に等値であることは次式から Hess の法則により保証される。



* 昭和 34 年 4 月本会講演会にて講演

** 富士製鉄株式会社釜石製鉄所 製鉄課

*** ク 焼結課

Table 1. Calculation method of carbon balance.

No.	Item	Calculation method
1	Coke rate	(kg/t-pig)
2	Carbon rate	(")
3	Carbon into flue dust	(")
4	Carbon into blast furnace	(")
5	Blast volume	(Nm ³ /t-pig)
6	Combustion C by O ₂ at the tuyere	(kg/t-pig)
7	H ₂ O in blast	(g H ₂ O/Nm ³)
8	Combustion C by H ₂ O	(kg/t-pig)
9	Total combustion C at the tuyere	(")
10	C into pig iron	(")
11	C for reduction of P ₂ O ₅	(")
12	" SiO ₂	(")
23	" MnO	(")
14	C for reduction of P ₂ O ₅ , SiO ₂ , MnO	(")
15	Combustion C in blast furnace	(")
16	Combustion C upper the tuyere	(")
17	C as solution loss	(")
18	O ₂ in CO ₂ of top gas	(Nm ³ /t-pig)
19	O ₂ in CO ₂ from lime stone	(")
20	O ₂ carried away by indirect reduction	(")
21	" direct reduction	(")
22	Indirect reduction	(%)
23	Direct reduction	(%)

以上の炭素精算の方法を計算をおこなう上でできるだけ簡易化したものを Table 1 に示す。

なお、高炉における炭素の分配状況を知るための参考資料として昭和 34 年 1 月から 6 月までの 6 カ月間の製鋼用銑、鋳物用銑の炭素の流れ図を Fig. 1 に示した。

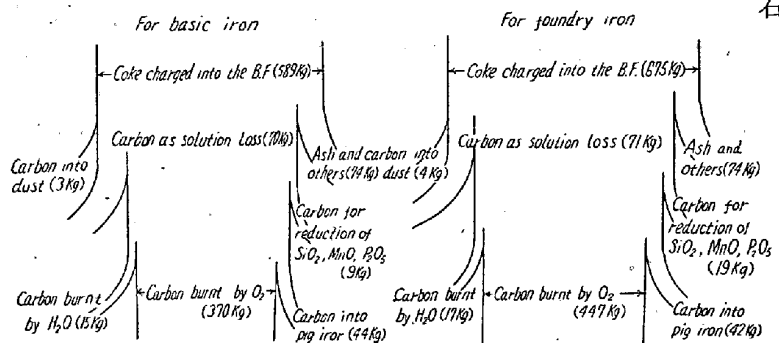


Fig. 1. Results of carbon balance.

(2) 高炉ガス発生量とガス成分について
衝風中の湿分が変化したり、ソルーション・ロスが変化した時のガス量、ガス組成の変化を簡単に計算するの
は相当面倒である。

ここではこのような場合の計算式を上に説明した炭素精算から求めてみた。

高炉内各部で発生する炭素の内訳をつぎのような記号で表わし、炉内各部で発生するガス量と成分について考えて見るとつぎのようになる。

羽口先で衝風中の O₂ で燃える C …… a (kg/t-pig)

羽口先で衝風中の H₂O で燃える C b (")
銑鉄中に熔解する C c (")
Si, Mn, P の還元に要する C d (")
ソルーション・ロスによる C e (")
還元されるべき酸化鉄中の酸素量 k (")
石灰石からくる CO₂ ガス量 g (Nm³/t-pig)

(1) ボッシュ・ガス： 羽口から衝風が吹き込まれ、その中の酸素および湿分により炭素が燃焼され、その時に発生するガスをボッシュ・ガスと名付ける。



(1) 式で発生する CO ガスは

$$22 \cdot 4 m^3 \times a \times 1/12 = 1 \cdot 87 a m^3$$

$$N_2 \text{ ガス } 1 \cdot 87 a \times 3 \cdot 76 / 2 = 3 \cdot 52 a m^3$$

(2) 式で発生する CO ガス $22 \cdot 4 \times b / 12 = 1 \cdot 87 b m^3$

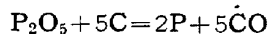
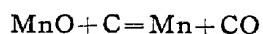
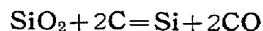
$$H_2 \text{ ガス } 22 \cdot 4 \times b / 12 = 1 \cdot 87 b m^3$$

したがつてボッシュ・ガスの総発生量 G₁ は

$$G_1 = 1 \cdot 87 a + 3 \cdot 52 a + 1 \cdot 87 b + 1 \cdot 87 b$$

$$= 5 \cdot 39 a + 3 \cdot 74 b$$

(2) 上部ボッシュ・ガス： このようにして発生したボッシュ・ガスは炉内を上昇するが、ボッシュ上部では Si, Mn, P の直接還元によって発生した CO ガスが加わる。この結果生じたガスを上部ボッシュガスと名付ける。



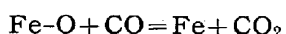
この結果、発生する CO ガスは

$$22.4 \times d / 12 = 1.87 \text{ dm}^3$$

したがつて上部ボッシュ・ガスの発生量は

$$G_2 = 5.39a + 3.74b + 1.87d$$

(イ) 中間ガス(シャフト・ガス): 上部ボッシュ・ガスは酸化鉄を還元するが、この反応と平行してソルーション・ロス反応が進行する筈である。計算の都合上、まず酸化鉄の間接還元を考えて見よう。その結果生じたガスを中間ガス(またはシャフト・ガス)とする。



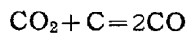
この反応に消費される CO ガス量は

$$22.4 \times k / 16 = 1.40 \text{ km}^3$$

この結果同容量の CO₂ ガスを発生する。したがつて中間ガス量はつぎのごとくなる。

$$G_3 = G_2 = 5.39a + 3.74b + 1.87d$$

(エ) 炉頂ガス: つぎに中間ガス中の CO₂ はソルーション・ロス反応により逆に CO に変化すると同時に石灰石の分解による CO₂ が加わる。



このソルーション・ロス反応により減少する CO₂ は $22.4e / 12 = 1.87 \text{ em}^3$ また発生する CO ガスは $2 \times 22.4e / 12 = 3.74 \text{ em}^3$ である。したがつて炉頂ガス量は

$$G_4 = 5.39a + 3.74b + 1.87d + 1.87e + g$$

Table 2. Formula for calculating the volume and chemical compositions of blast-furnace gases from C balance.

	Bosh gas	Upper bosh gas	Shaft gas	Furnace-top gas
Gas volume	$G_1 = 5.39a + 3.74b$	$G_2 = 5.39a + 3.74b + 1.87d$	$G_3 = 5.39a + 3.74b + 1.87d$	$G_4 = 5.39a + 3.74b + 1.87d + 1.87e + g$
N ₂ %	$\frac{3.52a}{G_1} \times 100$	$\frac{3.52a}{G_2} \times 100$	$\frac{3.52a}{G_3} \times 100$	$\frac{3.52a}{G_4} \times 100$
CO%	$\frac{1.87(a+b)}{G_1} \times 100$	$\frac{1.87(a+b+d)}{G_2} \times 100$	$\frac{1.87(a+b+d) - 1.40k}{G_3} \times 100$	$\frac{1.87(a+b+d) - 1.40k + 3.74e}{G_4} \times 100$
CO ₂ %	0	0	$\frac{1.40k}{G_3} \times 100$	$\frac{1.40k - 1.87e + g}{G_4} \times 100$
H ₂ %	$\frac{1.87b}{G_1} \times 100$	$\frac{1.87b}{G_2} \times 100$	$\frac{1.87b}{G_3} \times 100$	$\frac{1.87b}{G_4} \times 100$

* ここで羽口先で発生した H₂ はそのまま還元にあずからず炉頂ガスとして放出されるとしたが実際には幾分還元をおこし H₂O となり、またコークスなどから放散された H₂ も加つて実際の炉頂ガス中の H₂% はこの計算で求めた H₂% と異つている。釜石製鉄所で昭和33年12月から34年6月までの実績について検討した結果では羽口先で発生した H₂ の約 35% が還元にあずかっている。

Table 2 に炉内各部でのガス成分とガス量についてまとめた*。

(3) 間接還元をあらわすインディケーターについて
間接還元をあらわすインディケーターとしては、ソルーション・ロスを計算すればもともと正確に求められるが、この計算は相当に面倒でもあるので通常はガス成分から推定する方法が採られている。このガス成分としては CO/CO₂, (CO+CO₂), N₂% が代表的なものである。ソルーション・ロスのインディケーターとしてこれら特性値がいかなる性格のものであるかは Table 2 のガス組成表の結果から簡単にわかるので、その点について若干の検討をおこなつて見よう。

(イ) CO/CO₂ をインディケーターとする場合:

Table 2 のガス成分の表から

$$\text{CO/CO}_2 = \{1.87(a+b+d) - 1.40k + 3.74e\} / [1.40k - 1.87e + g]$$

ここで b, d, g は特別な場合を除いてほぼ一定であるが、羽口前で消費される炭素 a はコークス比によつて大きく変動する。したがつて CO/CO₂ のみから e を推定することは誤りで、コークス比を考えに入れねばならない。ここで k であるが、これは装入物により若干変動するものであるため CO/CO₂ とコークス比による間接還元の推定は k を含まない (CO+CO₂) % からの推定に比して精度が悪くなる。

上式の b, d, g, k に実績の値を代入して CO/CO₂,

ソルーション・ロス、コークス比との関係を Fig. 2 に示した。この図から上述の CO/CO_2 でガス還元を云々するには、コークス比による補正をおこなわねばならないことがわかる。また CO/CO_2 がガスの還元力をあらわすとすれば、コークス比の高いほど、 CO/CO_2 が高くなり還元力が大きいから、ソルーション・ロスは低くなるものと考えられる。したがつて鉱石量を増した場合にはコークス比が低下し、ソルーション・ロスが大きくなるものと考えられ、実績からもこの傾向が見られる。しかし原料処理の充実や焼結鉱の使用によつてガス還元が増大するときは、当然コークス比が低下し、ソルーション・ロスも低下するからコークス比とソルーション・ロスを 1 対 1 の対応で考えて行くわけにはいかない。

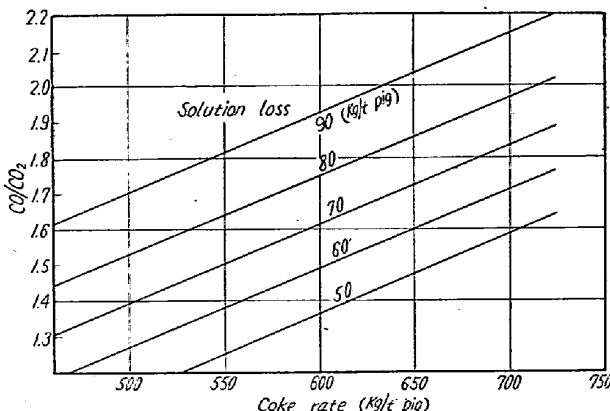


Fig. 2. Estimation of solution loss from CO/CO₂ and coke rate.

(b) $(CO + CO_2)\%$ をインディケーターとする場合:
同様に Table 2 のガス成分表から

$$(\text{CO} + \text{CO}_2)\% = \frac{[1 \cdot 87a + 1 \cdot 87b + 1 \cdot 87d + 1 \cdot 87e + g]}{[5 \cdot 39a + 3 \cdot 74b + 1 \cdot 87d + 1 \cdot 87e + g]} \times 100$$

この場合は CO/CO_2 に比して k を含まないだけ精度よく求められることになる。Fig. 3 に $(\text{CO} + \text{CO}_2)\%$ とコークス比から間接還元率およびソルーション・ロスを推定するグラフを示した。

現在釜石製鉄所では、ガス組成によるガス還元状況の監視として Fig. 3 からソルーション・ロスを毎日求め管理図として記入しているがこれから得られた情報からアクションをとるまではおこなつていないが、ガス還元の特性について種々の情報を提供している。

(4) $N_2\%$ によるソルーション・ロスの推定: $N_2\%$ による推定については JOSEPH¹⁾ が強調しているが本質的には $(CO + CO_2)\%$ による推定とほぼ同じである。Fig. 3 から明らかなように $(CO + CO_2)\%$ のわずかの変動がソルーション・ロスを大きく変えていることを見れば $H_2\%$ の変動がある場合は $N_2\%$ からソルーション・

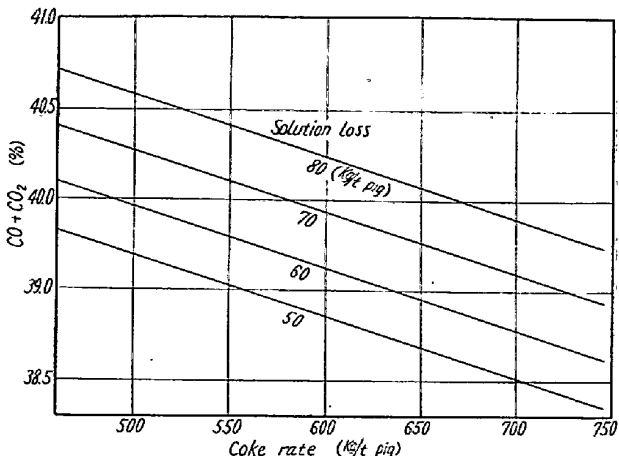


Fig. 3. Estimation of solution loss from CO+CO₂% and coke rate.

ロスは推定できることになる。実績からは N_o%、コ
ークス比、ソルーション・ロス間の相関が認められなか
つた。

III. 高炉における熱量の消費について

従来から熱量精算の方法としては、コークスの全発熱量を基準とした第1法²⁾および炭素の炉内燃焼熱を基準とした第2法²⁾の2つの方法がおこなわれてきたが、ここに炭素精算に基づいた熱量精算の方法（第3法）を前二者と熱的な機構の上から比較検討し、さらに第3法の計算方式を示した。

(1) 各種熱精算方式の比較について

高炉内各部で消費する炭素の内訳を前に示した記号であらわす。

さらに、羽口先で衝風中の O_2 で燃える C(a) のうち還元に使用されて CO_2 まで酸化されるものを a_1 , そのまま炉頂ガス中に入るものを a_2 , とすると ($a = a_1 + a_2$)

(イ) Fe-O の生成熱および直接還元熱と間接還元熱の関係: Fe の酸化物を Fe-O で表示する。反応熱の単位は kg C を基準にするため 1/12 mol 当りの反応熱とした。

Fe-Q の生成熱……………p1

Fe-O₂ の直接還元熱……………q₂

Fe-O の間接還元熱……… q_3 とする。

$$C + \frac{1}{2} O_2 \rightleftharpoons CO + 2,430 \text{ } 6)$$

$$\text{CO} + \frac{1}{2} \text{O}_2 = \text{CO}_2 + 5,670 \text{ 7)}$$

$$\text{あるから } O_4'(1) = b \times 4,820$$

$Q_5'(1)$: ダスト潜熱 $Q_5'(1) = 1 \times 8,100$

Q₆'(1): 鋼中に熔解するCの潜熱

$$Q_6'(1) = C \times 8, 100$$

したがつて

$$Q_T^{(1)} = (a + b + c + d + e + 1) \times 8, 100 + Q_0 \quad \dots 21)$$

$$Q_K^{(1)} = a \times 2,430 + (a_1 + e)q_3 - d \times q_2' - e$$

(4) 第2法の熱精算の機構について: 第2法の熱量バランスは Fig. 6 のようになる。

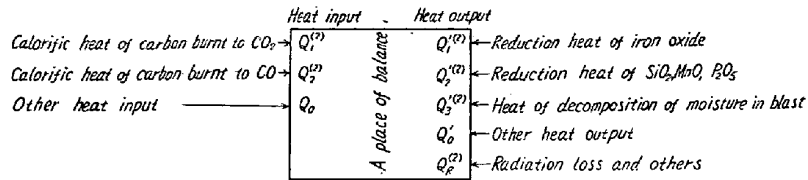


Fig. 6. Mechanism of heat balance based on the 2nd method.

$Q_1^{(2)}: C + O_2 = CO_2 + 8,100$ の結果発生する熱量であるから

$Q_1^{(2)} = a_1 \times 8,100$ となる.

$Q_2^{(2)}$: $C + \frac{1}{2} O_2 = CO + 2,430$ の結果発生する熱量であるから

$$Q_2^{(2)} = (a_2 + b + d + e) \times 2,430$$

$$Q_1'^{(2)}: \text{第1法と同様に } Q_1'^{(2)} = (a_1 + e) \times (5670 - q_3)$$

$$Q_2'^{(2)}: Q_2'^{(2)} = d \times (2,430 + q_2')$$

$$Q_3'^{(2)}: Q_3'^{(2)} = b \times 4,820$$

したがつて $Q_T^{(2)} = a_1 \times 8,100 + a_2 \times 2,430$

84

(v) 各種熱量精算の比較: 以上の3通りの熱精算結果をまとめたものを Table 3 に示す.

熱は各法とも同じ値となつてゐる。

ここで第1法から高炉の熱効率を考えると高炉は多量の熱量を与えられながら、これを未消化のまま炉頂ガス中に放散している効率の悪い熱機関と見られる。また第1法からは、コークスの高炉における熱的役割と他の熱源（例えは熱風）の役割との量的関係を議論することは不可能である。それは、コークスが実際には第1法で考えているほどの発熱をおこなっていないからである。

炭素の炉内燃焼熱を基準とした第2法は、第1法に比してコークス発熱量を少なく評価しているが CO_2 まで酸

化される時の炭素の発熱量 $8,100 \text{ kcal/kg-C}$ は酸素で燃焼した時に発生するものであり実際は酸化鉄中の酸素で酸化されるものであるから $8,100 \text{ kcal}$ は発生しない。したがつて第2法は第1法と第3法の中間的な方式であり、第2法

炭素精算に基づいた第3法はもつとも良く炉内反応に即応したものであるから、この方式による熱精算はコークスの高炉における熱的役割と他の熱源との量的関係をもつとも正確に示しているものである。

(2) 炭素精算に基づく熱量精算の計算方式について
 以上の3通りの熱精算の方法について比較検討したが
 炭素精算に基づく熱量精算が炉内反応にもつとも良く即
 応していること、したがつて高炉の熱的諸検討をこの方
 法でおこなうと熱量精算結果がより有効な資料となると
 考えられる。釜石製鉄所では昭和33年4月からこの方
 法による熱量精算を小さい値のものについては常数にま
 とめて簡単な方式としておこなつてゐるので、その計算
 方式を Table 4 に示した。なお熱量精算の理論とその
 機構については上におこなつた各種熱量機構の比較から
 明らかであるので省略する。

Fig. 7 は炭素精算の流れ図と対比させて昭和 34 年 1 月から 6 月まで 6 カ月間の熱量の流れ図を示したものであり高橋における熱量の配分が明らかとなる。

IV. 装入物の所要熱量の計算について

熔鉱炉装入原料の各々の性質により炉況に大きく影響

Table 3. Comparison of various methods for heat balance

	1 st method	2 nd method	3 rd method
Total heat input	$(a+b+c+d+e+1) \times 8,100 + Q_0$	$a_1 \times 8,100 + a_2 \times 2,430 + 2,430(b+d+e) + Q_0$	$a \times 2,430 + (a_1+e)q_3 + Q_0$
Radiation loss	$a \times 2,430 + (a_1+e)q_3 - d \times q_2' - e \times 3,240 - b \times 2,390 + 4Q_0$	$a \times 2,430 + (a_1+e)q_3 - d \times q_2' - e \times 3,240 - b \times 2,390 + 4Q_0$	$a \times 2,430 + (a_1+e)q_3 - d \times q_2' - e \times 3,240 - b \times 2,390 + 4Q_0$

Table 4. Calculation method of heat balance.

No.	Item	Calculation method
(1)	Calorific heat of C burnt by O ₂ before the tuyere	Blast volume (Nm ³ /t-pig) × 0.225 × 2,430
(2)	Reduction heat of iron oxide	Total Fe in charge(kg/t-pig) × 437
(3)	Sensible heat of the blast	Blast volume × blast temp. (°C) × specific heat
(4)	Sensible heat of moisture in blast	Blast volume × H ₂ O(g/Nm ³) × Blast temp.
(5)	Sensible heat of charge	Total charge(kg/t-pig) × mean specific heat × mean temp. (°C)
(6)	Heat of slag formation	Slag volume (kg/t-pig) × 140
(7)	Sensible heat of moisture in charges	H ₂ O in charge(kg/t-pig) × mean temp.
	Total heat input	
(1)'	Reduction heat of MnO	C for reduction of MnO (kg/t-pig) × 5,742
(2)'	" of SiO ₂	" " of SiO ₂ (kg/t-pig) × 6,333
(3)'	" of P ₂ O ₅	" " of P ₂ O ₅ (kg/t-pig) × 3,673
(4)'	Solution loss	C as solution loss (kg/t-pig) × 3,240
(5)'	Heat of lime-stone decomposition	Lime stone ratio (kg/t-pig) × CaO% in lime stone × 760/100
(6)'	Sensible heat of molten pig	Temp. of molten pig(%) × 0.21 × 1,000
(7)'	" of molten slag	Slag volume(kg/t-pig) × temp. of molten slag (°C) × 0.287
(8)'	Heat of decomposition of moisture in blast	Combustion C by H ₂ O in blast (kg/t-pig) × 2,390
(9)'	Enthalpy of steam in the furnace top gas	H ₂ O in charge(kg/t-pig) × top gas temp. (°C) × Enthalpy of that temp.
(10)'	Sensible heat of furnace top gas	Top gas volume(Nm ³ /t-pig) × top gas temp. × specific heat
(11)'	Heat brought away by cooling water	Cooling water volume(kg/t-pig) × (waste water temp.-supply water temp.)
(12)'	Sensible heat of flue dust	Flue dust(kg/t-pig) × 0.18 × top gas temp.
	Total heat output radiation loss	Heat input - heat output

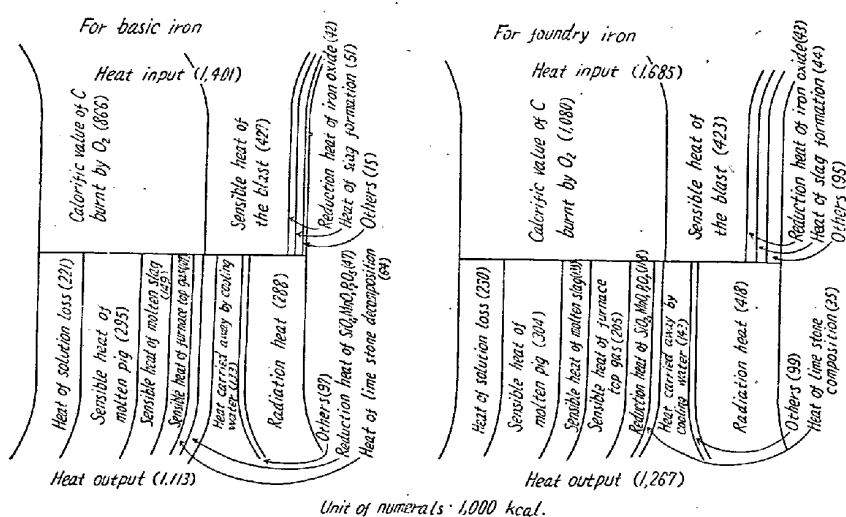


Fig. 7. Results of heat balance.

することは論ずるまでもないが、この原料の性質が炉内反応におよぼす影響を個々の装入原料について検討をおこない、熔鉄炉操業をより理論的なものとすることが必要である。そこで個々の装入原料の化学的性質に基づき各原料 100 kg 当りの消費熱量を炭素精算に基づいた方法でおこなつて見る。

この方法は各原料中鉄分が鉄鉄となり、その中に熔解する炭素量および Si, Mn, P 還元用炭素、酸化鉄の直接、間接還元用炭素量を算出する。この炭素量に基づい

て Si, Mn, P の還元熱、ソルーション・ロスの熱などの出熱を計算し、さらに CaCO₃ の煅焼熱、熔銑、熔滓の顯熱などの出熱を算出する。そのほかに装入原料を増した場合に、この原料の増加により羽口先で燃焼する炭素から最低所要固体炭素の量だけ奪うことになり、それにより羽口先で気化する時の発熱量を低下せしめる。したがつてこの炭素の発熱量の分を原料の所要熱量中に含ませねばならない。以上の出熱より入熱としての間接還元熱、鉱滓生成熱を差引けば所要熱量が得られる。

今、製鋼用銑の場合の装入物 100 kg 当りの所要熱量の計算方式を各項目について説明するとつぎのようになる。

高炉装入原料の最低所要炭素量

(1) 鉄鉄中に熔解する炭素量
銑鉄中 Fe% を 100/1.07%, 鉄中 C% を 4.4% とすると

鉄中に熔解する炭素量は

$$(各原料中 Fe\%) \times 1.07 \times 4.4 / 100$$

(2) Si, Mn, P の直接還元用 C

(4) SiO₂+2C=Si+2CO の反応で Si は還元され鉄

中に熔け込む。この銑鉄中の Si% を 0.5% とすると
(各原料中 Fe%) × 1.07 × 0.5 × 1/100 × 24.00/28.09
まとめると各原料中 Fe% × 0.00457

(口) Mn については原料中 Mn% の歩留りを 62.0% とすると

$$(各原料中 Mn%) \times 0.62 \times 12.00 / 54.93 = (各原料中 Mn%) \times 0.1355$$

(イ) P については

$$(各原料中 P%) \times 60.00 / 61.94 = (各原料中 P%) \times 0.9687$$

したがつて Si, Mn, P 還元用 C は

$$(各原料中 Fe%) \times 0.00457 + (各原料中 Mn%) \times 0.1355 + (各原料中 P%) \times 0.9687$$

(3) Fe の直接還元用 C (ソルーション・ロスの C)

各原料の酸化鉄の形は非常に複雑で各原料ごとに断定することはできない。しかし酸化鉄の還元熱は酸化鉄の形により、その差は比較的小さいものであるから、ごく概略的に酸化鉄の形を決定し、それによつて還元に要する C 量、所熱要量を計算する。

各原料中の形を metallic Fe, FeO, Fe₂O₃, Fe₃O₄ (FeO+Fe₂O₃) と仮定すると

直接還元に使用される C は

$$\{(原料中 FeO%) \times 12/71.85 + (Fe₂O₃%) \times 36/159.70\} \times \eta_{D.R}$$

ここで $\eta_{D.R}$ は直接還元率である。 $\eta_{D.R}$ が問題となるが個々の鉱石につき推定することは困難である。最近の実績を用いると $\eta_{D.R}$ は 30.0% である。

(4) 最低所要固体炭素

ここで固体炭素というのはつぎのような意味を持つてゐる。すなわち、炉内で消費される炭素には気化するものと気化しないものとがあり、後者に属するものとして銑中に入る C, ダスト中に入る C がある。ダスト中に入る C は高炉に付属するもので鉱石には関係ないものとして、鉱石所要炭素量中には入らない。気化するものの中で Si, Mn, P 還元用 C はガス中の C (CO) ではなく、固体炭素でなくてはならない。また酸化鉄の直接還元用 C (ソルーション・ロスの C) もガス中の C ではなく固体の C を消費することになり、この意味で最低所要固体炭素量は (1)+(2)+(3) となる。

(5) 酸化鉄の間接還元用 C

間接還元用 C は羽口先で気化した CO よりくるものであり原料の最低所要炭素量としては (4) の最低所要固体炭素とこの間接還元用炭素量を加えたものである。

間接還元率を $\eta_{I.R} = 100 - \eta_{D.R}$ とするとこの間接還

元用 C は

$$\{(原料中 FeO%) \times 12/71.85 + (Fe₂O₃) \times 36/159.70\} \times \eta_{I.R}$$

となる。

(6) 最低所要炭素量

$$(6) = (4) + (5)$$

以上で高炉装入原料の最低所要炭素量が決定され、これに基づいて最低所要熱量を算出する。

高炉装入原料の最低所要熱量

(7) Si, Mn, P の還元熱

(イ) Si の還元熱: 銑中 Si% 0.5% とするための所要炭素量は (原料中 Fe%) × 0.00457 したがつて還元熱は $6,333 \times 0.00457 \times (Fe\%)$

(口) Mn の還元熱: 所要炭素量は (Mn%) × 0.1355
還元熱は $5,742 \times 0.1355 \times (Mn\%)$

(イ) P の還元熱: 所要炭素量は (P%) × 0.9687
還元熱は $3,673 \times 0.9687 \times (P\%)$

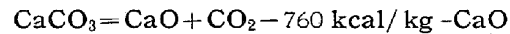
したがつて Si, Mn, P の還元熱は

$$28.9 \times (Fe\%) + 778.0 \times (Mn\%) + 3,558 \times (P\%)$$

(8) ソルーション・ロスの熱量

$C + CO_2 = 2CO - 3.240 \text{ kcal/kg-C}$ であるからソルーション・ロスの熱量は $3240 \times (3)$ となる。

(9) CaCO₃ の分解熱



分解熱は $CaO(kg/100 \text{ kg 装入物}) \times 760$

(10) 熔銑の頭熱

熔銑温度 × 比熱 (0.21) kcal/kg-pig であるから頭熱は

熔銑温度 × 比熱 (0.21) × 原料中 Fe%

(11) 熔滓の頭熱

熔滓温度 × 比熱 (0.287) × 各原料鉱滓生成量
(kg/100 kg 装入物)

(12) 装入物の水分蒸発熱

水分 (kg/100 kg 装入物) × 当該温度での蒸発熱

この項は比較的小さいものであるから炉頂温度は一定とし (200°C) 蒸発熱は 620 kcal とした。したがつて水分 (kg/100 kg 装入物) × 620

(13) 最低熱量消費

その他出熱としては

(イ) 炉頂ガス中水分の持ち去る熱量

(口) 炉頂ガスの頭熱

(イ) 送風中湿分の分解熱

(イ) 冷却水の持ち去る熱量

(イ) ダスト頭熱

(4) 熱損失

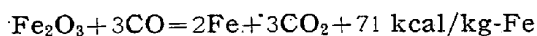
などがあるが原料の切替によつてはガス成分の変化をきたすだけで、ガス量には変化はないから、(4)(5)は原料に付属する熱量ではなく、(6)はコークスに付属するものであり、(7)(8)(9)は炉に付属する熱損失であるから、これらは各原料の所要熱量には含めない。

したがつて各原料の最低消費熱量は

$$(13) = (7) + (8) + (9) + (10) + (11) \text{ となる。}$$

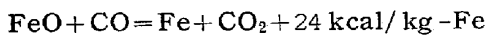
装入原料の入熱

入熱としては酸化鉄の還元熱、鉱滓生成熱、装入物顕熱などがある。

(14) 還元熱 (Fe_2O_3)

$$(\text{Fe}_2\text{O}_3\%) \times 71 \times (\text{Fe の分子量}/\text{Fe}_2\text{O}_3 \text{ の分子量})$$

$$= (\text{Fe}_2\text{O}_3\%) \times 50$$

(15) 還元熱 (FeO)

したがつて FeO からの還元熱は

$$(\text{FeO}\%) \times 24 \times (\text{Fe の分子量}/\text{FeO の分子量})$$

$$= (\text{FeO}\%) \times 19$$

(16) 鉱滓生成熱

$$\text{鉱滓生成量 (kg/100 kg 装入物)} \times 140$$

(17) 装入物顕熱

$$100 \times \text{平均気温} (\text{°C}) \times \text{比熱} (0.18)$$

比熱は各原料により多少違うが、平均値 0.18 であるのでこれを用いた。

(18) 入熱総計

$$(14) + (15) + (16) + (17)$$

高炉装入原料 100 kg 当りの所要熱量

(19) 所要固体炭素の発熱量

装入原料を増した場合、もしこの原料の増加が無ければ羽口先で燃焼し発熱した熱量が原料の増加のため最低所要固体炭素の量だけ奪うことになり、それにより羽口先で気化する時の発熱量を低下せしめる。したがつてこの炭素の発熱量 $2,430 \times (4)$ を原料の所要熱量中に含めねばならない。

(20) 湿 100 kg 当りの所要熱量

したがつて原料 100 kg 当り必要な熱量は $(13) + (19)$ となり、入熱の分 (18) を差引いた $\{(13) + (19) - (18)\} \times (100 - \text{H}_2\text{O}\%)/100$ に (12) の水分蒸発熱を加えた $\frac{\{(13) + (19) - (18)\} \times (100 - \text{H}_2\text{O}\%)}{100} + (\text{H}_2\text{O}\%) \times 620$

が湿 100 kg 当りの所要熱量となる。

Table 5 に以上の装入物 100 kg 当りの所要熱量の計算方式を簡単にし実用されやすいようにまとめあげた。

この所要熱量は普通鉄鉱石の場合、化学組成および鉄物銑用原料、製鋼用銑原料などで異なるが T.Fe 60% 前後では 100 kg 当り 60,000~70,000 kcal の熱量を必要とする。

釜石製鉄所ではこの所要熱量の計算、さらに第 2 報で諸結果を応用し、鉱石増減時のアクションまたは銑種切替時などに大きな効果を収めている。

Table 5. The method of calculation of the blast consumption required for burden per 100 kg.

No.	Item	Calculation method for basic pig iron
1	Carbon in pig iron	$0.04708 \times (\text{Fe}\%)$
2	C for reduction of SiO_2 , MnO , P_2O_5	$0.00457 \times (\text{Fe}\%) + 0.1355 \times (\text{Mn}\%) + 0.9687 \times (\text{P}\%)$
3	C for direct reduction of iron oxide	$\{0.167 \times (\text{FeO}\%) + 0.225 (\text{Fe}_2\text{O}_3\%) \} \times \eta_{D.R}$
4	Minimum solid carbon consumption	$(1) + (2) + (3)$
5	C for indirect reduction of iron oxide	$\{0.167 \times (\text{FeO}\%) + 0.225 (\text{Fe}_2\text{O}_3\%) \} \times \eta_{I.R}$
6	Minimum carbon consumption	$(4) + (5)$
7	Reduction heat of SiO_2 , MnO and P_2O_5	$28.9 \times (\text{Fe}\%) + 778.0 \times (\text{Mn}\%) + 3,558.0 \times (\text{P}\%)$
8	Heat of solution loss	$3,240 \times (3)$
9	Heat of lime-stone decomposition	$760 \times \text{CaO} (\text{kg}/100 \text{ kg burden})$
10	Sensible heat of molten pig	$\text{Temp. of molten pig} (\text{°C}) \times 0.2247 \times (\text{Fe}\%)$
11	Sensible heat of molten slag	$\text{Temp. of molten slag} (\text{°C}) \times 0.287 \times \text{slag weight} (\text{kg}/100 \text{ kg burden})$
12	Evaporation heat of H_2O in the charge	$\text{H}_2\text{O} (\text{kg}/100 \text{ kg burden}) \times 620$
13	Minimum heat consumption	$(7) + (8) + (9) + (10) + (11)$
14	Indirect reduction heat of iron oxide (Fe_2O_3)	$50 \times (\text{Fe}_2\text{O}_3\%)$
15	" "	$19 \times (\text{FeO}\%)$
16	Heat of slag formation	$140 \times \text{slag weight} (\text{kg}/100 \text{ kg burden})$
17	Sensible heat of the charge	$18 \times \text{mean temp.} (\text{°C})$
18	Heat supplied by burden	$(14) + (15) + (16) + (17)$
19	Calorific heat of solid carbon	$2,430 \times (4)$
20	Heat requirement of burden per 100kg	$\{(13) + (19) - (18)\} \times (100 - \text{H}_2\text{O}\%) / 100 + (\text{H}_2\text{O}\%) \times 620$

V. 結 言

以上高炉における熱量的検討の基礎になる炭素精算から出発して熱量精算、装入物所要熱量について考察をすすめその基礎について種々の理論的検討をおこなつた。

第2報では第1報から得られた種々の情報をもとにし

て炭素一熱量的検討結果をいかに高炉操業に応用できるか現在どのように応用しているかを説明する。

(昭和34年9月寄稿)

文 献

- 1) T. L. JOSEPH: J. Metals 191(1951), p. 37~43
- 2) 鉄鋼便覧: 194~196

鋳鉄の高温度における硫化腐蝕について*

中 井 弘**

On the Sulphurization of Cast Iron at High Temperatures.

Hiroshi Nakai

Synopsis:

Experiments on the sulphurization of cast iron in H_2S gas current at high temperatures were conducted and the following results were obtained.

(1) The sulphurization product of cast iron was composed of pyrrhotite $Fe_{1-x}S$ and pyrite FeS_2 , which were the same as those of iron and steel. In the outer layer of sulphurization product, carbon and phosphorus didn't diffuse, on the contrary manganese diffused freely, silicon did a little.

(2) The sulphurization rate was controlled by the parabolic rate law, and the following formula was obtained:

$$W^2 = 1 \cdot 15 \times 10^{-6} t \quad W: \text{sulphurization rate, g/cm}^2 \\ t: \text{sulphurization time, s}$$

(3) Between the sulphurization rate and temperature, the exponential law was found and the following formula was obtained.

$$K = 10^{-2} \cdot e^{-33500/RT} \quad K: \text{sulphurization rate constant, (g/cm}^2)^2/\text{s} \\ R: \text{gas constant} \\ T: \text{sulphurization temperature, } ^\circ\text{K}$$

(4) The structure of cast iron did not affect the sulphurization rate.

(5) Carbon expedited the sulphurization rate of cast iron, on the contrary silicon and manganese did not expedite it.

I. 緒 言

硫黄化合物を含有する高温ガスによる腐蝕は化学工業では無視できない問題である。とくに二硫化炭素製造あるいは硫黄蒸留などの濃厚高温の硫黄ガスを使用する工場においては、その使用金属は消耗品とみなされているほどである。したがつて高級な金属は使用せられず、普通の場合鋳鉄あるいはこれに少量の合金元素を添加したものが使用されている。しかし鋳鉄の高温硫黄ガスによる腐蝕の基礎的な研究はきわめて少ない。そこで本研究では鋳鉄の高温度における硫化腐蝕について、特にその腐蝕生成物、硫化被膜の成長機構、鋳鉄の組織および成分の硫化腐蝕におよぼす影響について系統的に実験を行なつた。

II. 従 来 の 研 究

鋳鉄の高温度における硫化腐蝕について系統的に研究を行なつた報告は村上、長崎によるもの¹⁾が存在するだけで、純鉄や鋼について研究を行なつたものにも上記のほか P. V. GELD & O. A. ESSIN²⁾, A. DRAVNIEKS³⁾らの報告が見られるのみである。以下各実験項目についてこれまでの研究報告をまとめてみる。

1. 腐蝕生成物

硫化によつて金属表面に生成される被膜は酸化の場合と同じく金属外方に膨脹する。この被膜が腐蝕に重大な

* 昭和34年11月日本会講演会にて発表

** 早稲田大学理工学部金属工学科